



Figura 3.21. Mandíbula do indivíduo 520, adulto feminino, com grande perda de dentes *ante mortem*.

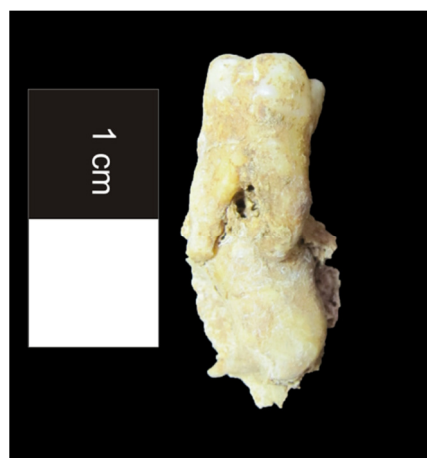


Figura 3.22. O indivíduo 484, adulto feminino, tem o segundo molar superior esquerdo agregado ao terceiro molar, dente que aparentemente terá ficado incluso no alvéolo.

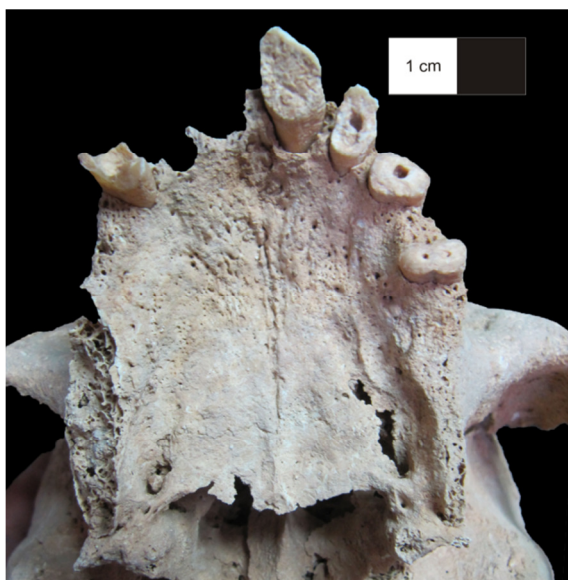


Figura 3.24. Maxilar do indivíduo 387, adulto masculino, evidenciando perda dentária *ante mortem* e destruição nas coroas dentárias expondo as cavidades pulpares dos dentes remanescentes.

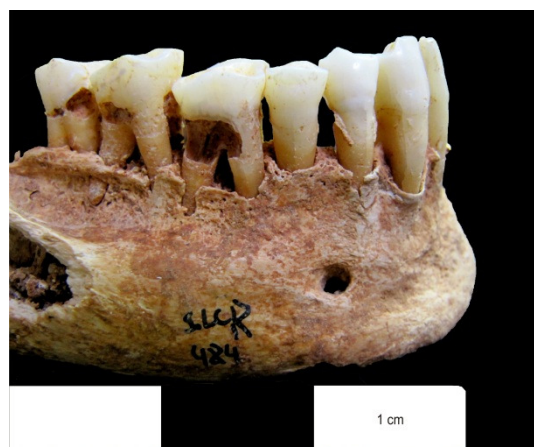


Figura 3.23. Mandíbula do indivíduo 484, adulto feminino, com grandes cáries nas coroas dos molares direitos.

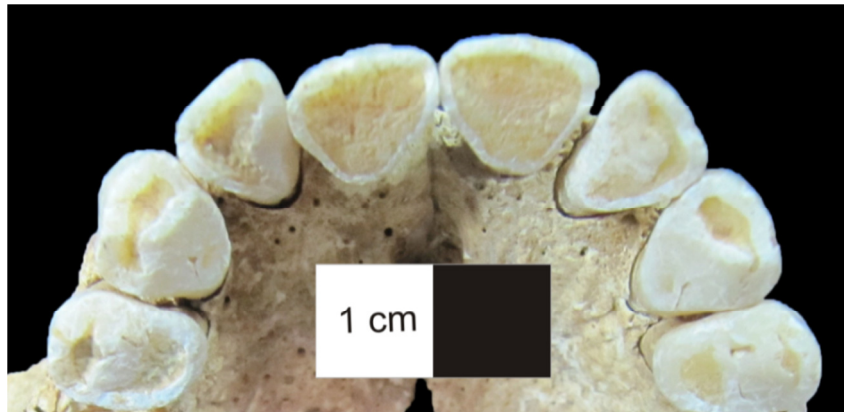


Figura 3.25. Maxilar do indivíduo 388, adulto masculino, com desgaste lingual severo nos incisivos centrais e laterais e com grande exposição da dentina.



Figura 3.26. Maxilar do indivíduo 136, adulto feminino, com desgaste tipo "serrilha" nos incisivos.

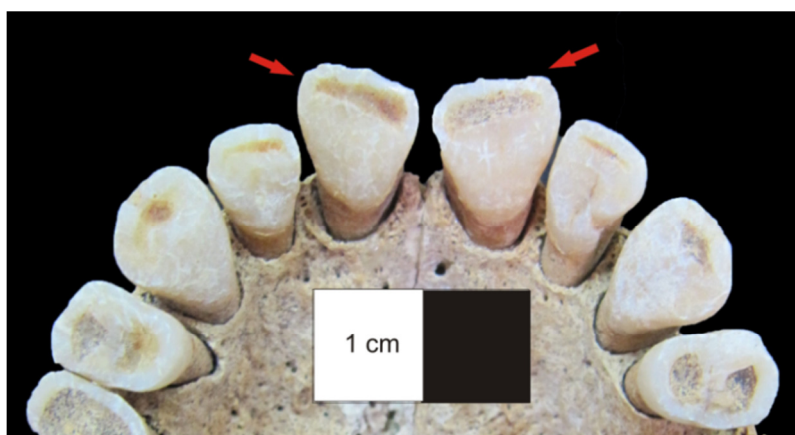


Figura 3.27. Maxilar do indivíduo 147, adulto masculino, com desgaste tipo "serrilha" nos dois incisivos centrais.

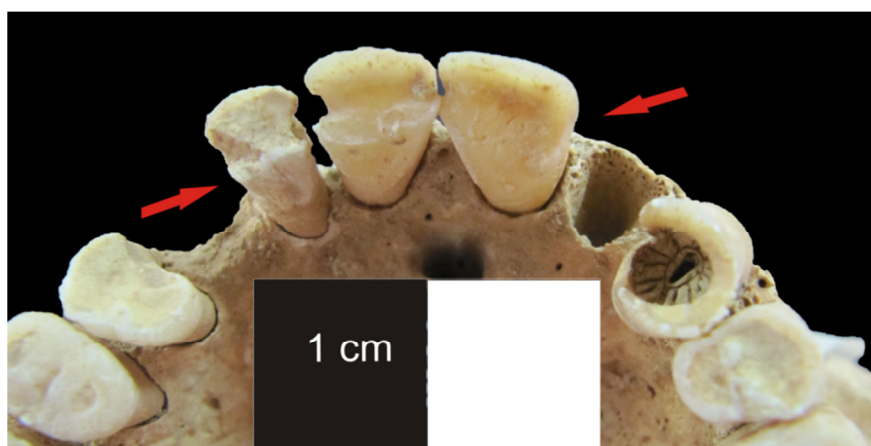


Figura 3.28. Maxilar do indivíduo 363, adulto masculino, com sulcos oclusais que se estendem pelos incisivos centrais ao incisivo lateral direito preservados.



Figura 3.29. Mandíbula do indivíduo 363, adulto masculino, com desgaste estramastigatório na coroa do canino esquerdo.

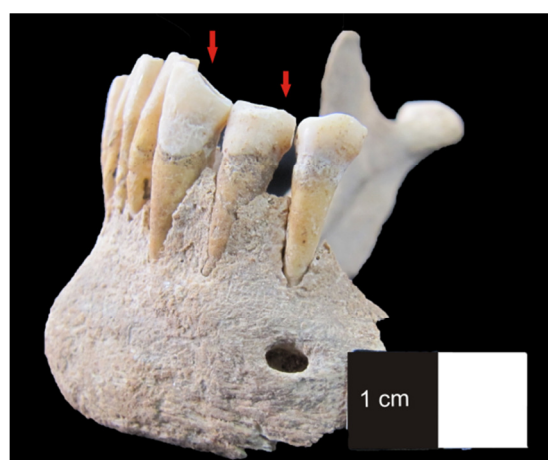


Figura 3.30. Mandíbula do indivíduo 173, adulto masculino, com sulco de margens arredondas formando uma área semicircular entre o canino e o 1º pré-molar esquerdos (assinalado por setas).



Figura 3.31. Mandíbula do indivíduo 201, adulto masculino, com tártaro na dentição anterior.



Figura 3.32. Maxilar do esqueleto 484, indivíduo adulto feminino, com lesão periapical junto à raiz do 2º pré-molar direito.

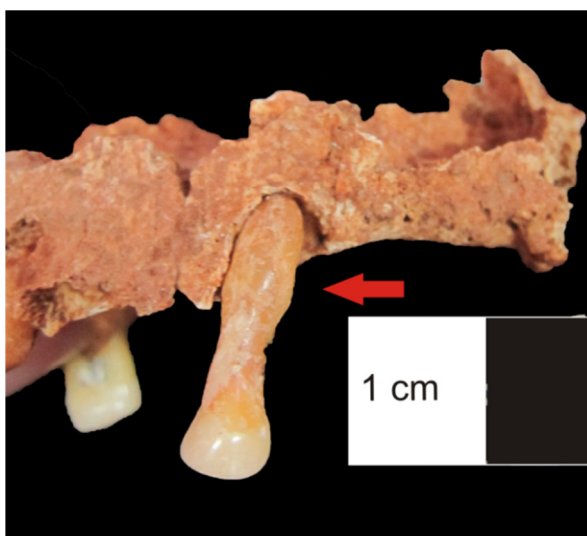


Figura 3.33. Maxilar do indivíduo 164, adulto masculino, com hipercimentose na raiz do 2º pré-molar esquerdo.



Figura 3.34. Segundo molar superior esquerdo com hipercimentose na raiz, do indivíduo 507 (adulto de sexo indeterminado)